



مقاله علمی-پژوهشی

بهینه‌سازی شرایط استخراج اسانس مرزه سهندي (*Satureja sahendica* Bornm.)

جالال خورشيدی^{۱*}، سید هیمن امان‌اللهی^۲، پخشان بايزيدی‌آذر^۳

۱- استادیار، گروه علوم و مهندسی باطنی، دانشکده کشاورزی، دانشگاه کردستان، سنندج، ایران

۲- مرکز پژوهشی اصلاح و توسعه گیاهان دارویی، دانشکده کشاورزی، دانشگاه کردستان، سنندج، ایران

۳- دانشجوی کارشناسی ارشد، گروه علوم و مهندسی باطنی، دانشکده کشاورزی، دانشگاه کردستان، ایران

چکیده

اطلاعات مقاله

تاریخ های مقاله :

تاریخ دریافت: ۱۴۰۲/۶/۱۶

تاریخ پذیرش: ۱۴۰۲/۱۰/۷

كلمات کلیدی:

مرزه سهندي،

اسانس،

تیمول،

سایز مش،

میزان آب.

DOI: 10.22034/FSCT.21.148.103.

مسئول مکاتبات: *

j.khorshidi@uok.ac.ir

میزان و کیفیت اسانس استخراج شده از گیاه به شدت تحت تأثیر شرایط استخراج قرار دارد و لذا بهینه‌سازی شرایط استخراج می‌تواند ما را در دست یابی به بیشترین و با کیفیت‌ترین اسانس کمک نماید. مرزه سهندي (*Satureja sahendica* Bornm.) از گیاهان دارویی اندامیک ایران است که به دلیل میزان بالای اسانس و نیز محتوای تیمول بالا در اسانس، از اهمیت بالایی برخوردار است. در این پژوهش، تأثیر اندازه قطعات گیاهی (سایز مش‌های ۱۲، ۱۴ و ۳۵) و نسبت ماده گیاهی به آب (۱ به ۱، ۵ به ۱۰ و ۱۵ به ۱۵) بر میزان و ترکیبات تشکیل‌دهنده اسانس گیاه مذکور ارزیابی گردید. استخراج اسانس به روش تقطیر با آب با کلونجر و آنالیز اسانس‌ها با دستگاه‌های GC/MS و GC/FID انجام گرفت. نتایج نشان داد که با کاهش اندازه قطعات گیاهی، میزان اسانس به طور معنی‌داری کاهش یافت. مطلوب‌ترین نسبت ماده گیاهی به آب برای حصول اسانس بیشتر، بسته به اندازه قطعات گیاهی متفاوت بود. بیشترین میزان اسانس (۲/۱۵ درصد حجمی/وزنی) از مواد گیاهی با سایز مش ۱۲ و نسبت ۱ به ۱۵ مواد گیاهی به آب به دست آمد. تعداد، انواع و میزان ترکیبات تشکیل‌دهنده اسانس به شدت تحت تأثیر تیمارهای اعمال شده قرار گرفتند. بیشترین میزان تیمول (۸۱/۷۹ درصد) به عنوان مهم‌ترین ترکیب اسانس مرزه سهندي، از نمونه‌های با سایز مش ۳۵ و نسبت ۱ به ۱۰ ماده گیاهی به آب، به دست آمد. انتخاب مناسب‌ترین شرایط استخراج، بسته به هدف و ترکیب شیمیایی مورد نظر اسانس، می‌تواند متفاوت باشد.

(Lamiaceae) و انحصاری ایران می‌باشد که در شمال‌غرب و غرب ایران پراکنی دارد [۱۶]. این گیاه حدود ۱ تا ۳ درصد انسانس دارد و از مهم‌ترین ترکیبات انسانس آن می‌توان به تیمول، پاراسیمین و گاما‌ترپین اشاره کرد [۱۷ و ۱۸]. مرزه سهندی دارای خواص ضد میکروبی و ضد اکسایشی بوده [۱۹] و همانند سایر گونه‌های مرزه در درمان بیماری‌های عفونی، دردهای عضلانی، سوء هاضمه، اسهال و چربی خون کاربرد دارد [۲۰ و ۲۱]. همچنین از این گیاه به عنوان ادویه در صنایع غذایی استفاده می‌شود [۱۶].

۲- مواد و روش‌ها

۲-۱- تیمارهای آزمایشی

در این پژوهش، تأثیر اندازه قطعات گیاهی در سه سطح مش سایز (۳۵ قطر ۰/۵ میلی‌متر)، (۱۸ قطر ۱ میلی‌متر) و (۱۲ قطر ۱/۶ میلی‌متر) و نیز نسبت ماده گیاهی به آب (وزنی/حجمی) در سه سطح ۱:۵ (۱۰ گرم ماده گیاهی در ۵۰ میلی‌لیتر آب)، ۱:۱۰ (۱۰ گرم ماده گیاهی در ۱۰۰ میلی‌لیتر آب) و ۱:۱۵ (۱۰ گرم ماده گیاهی در ۱۵۰ میلی‌لیتر آب) بر میزان انسانس و ترکیبات تشکیل دهنده انسانس مرزه سهندی مورد مطالعه قرار گرفت.

۲-۲- تهیه نمونه گیاهی و آماده‌سازی آن

مرزه سهندی مورد استفاده در این پژوهش، در بهار سال ۱۴۰۰ از رویشگاه طبیعی آن واقع در شهرستان بوکان با مختصات جغرافیایی "۵۹°۴۷' عرض شمالی و "۳۹°۰۶' طول شرقی و ۱۳۷۱ متر ارتفاع از سطح دریا برداشت گردید. نمونه‌های گیاهی به مدت یک هفته در دمای اتاق و سایه خشک شدند. سپس مواد گیاهی خشک شده توسط آسیاب آزمایشگاهی خرد شده و از الکهای با مش سایزهای مذکور عبور داده شدند تا جهت استخراج انسانس آماده شوند.

۲-۳- استخراج انسانس

برای استخراج انسانس از روش تقطیر با آب توسط دستگاه کلونجر بهره گرفته شد. بدین منظور، حدود ۱۰ گرم نمونه گیاهی توزین و در بالن دستگاه ریخته شد و به آن حجم مشخص آب (۵۰، ۱۰۰ و ۱۵۰ میلی‌لیتر) به ترتیب در نسبت-

۱- مقدمه

انسانس‌ها یا روغن‌های فرار ترکیباتی هستند که در ساختارهای ترشحی مختلف گیاهان تولید می‌شوند و دارای خواص ضد قارچی، ضد ویروسی، ضد باکتری، ضد سرطان، ضد جهش، ضد دیابت، ضد التهاب و ضد اکسایشی بوده و به واسطه همین خواص، کاربردهای متعددی در صنایع دارویی، غذایی، آرایشی و بهداشتی دارند [۱]. انسان‌ها به روش‌های گوناگونی از گیاهان استخراج می‌شوند که رایج-ترین آن، روش تقطیر با آب می‌باشد [۲]. عوامل مختلفی در بازده و کیفیت انسانس استخراج شده از گیاه در روش تقطیر دخیل هستند که از آن جمله می‌توان به اندازه قطعات گیاهی، نسبت ماده گیاهی به آب، مدت زمان استخراج و درجه حرارت مورد استفاده اشاره نمود [۳]. ضمن فرایند تقطیر، ماده گیاهی مدام با آب در تماس بوده و بنابراین فرایندهایی از جمله هیدرولیز، پلیمریزاسیون و حل شدن ترکیبات در آب می‌تواند بر میزان و کیفیت انسانس استحصالی تأثیرگذار باشد [۴]. تغییر در اندازه قطعات گیاهی موجب تغییر سطح تماس مواد گیاهی با آب می‌شود که این مهم می‌تواند بر سرعت جذب و واجدب آب توسط بافت‌های گیاهی و به دنبال آن خروج ترکیبات مؤثره از گیاه تأثیرگذار باشد [۳]. میزان نفوذپذیری بافت‌های گیاهی و نیز نوع و موقعیت ساختارهای ترشحی گیاهان با یکدیگر متفاوت بوده و همین امر باعث می‌شود که میزان و سهولت خروج ترکیبات مؤثره ضمن تقطیر در گیاهان مختلف یکسان نباشد [۵]. بنابراین بهینه کردن شرایط استخراج برای دست‌یابی به بالاترین کیمی و کیفیت ماده مؤثره در مورد هر گیاه، امری ضروری است. در این ارتباط مطالعاتی صورت گرفته است که نتایج همه آن‌ها مؤید تأثیرگذاری شرایط استخراج بر بازده و کیفیت ماده مؤثره استخراجی است [۳، ۴، ۶، ۷، ۸، ۹، ۱۰، ۱۱، ۱۲، ۱۳، ۱۴ و ۱۵]. بنا بر اهمیت موضوع مذکور، در این پژوهش تأثیر نسبت ماده گیاهی به آب و نیز اندازه قطعات گیاهی بر درصد و ترکیبات تشکیل دهنده انسانس مرزه سهندی (Satureja sahendica Bornm) مورد بررسی قرار گرفت. مرزه سهندی گیاهی چند ساله از تیره نعناعیان

اسانس از طریق محاسبه مساحت زیر پیک به دست آمد. مربوط به هر ترکیب در کروماتوگرام GC/FID، به دست آمد.

۳- نتایج و بحث

۱- میزان اسانس

همان‌طور که در شکل ۱ مشاهده می‌گردد، در نسبت‌های ۱/۵ و ۱/۱۰ ماده گیاهی به آب، بین میزان اسانس استخراج شده از مواد گیاهی با سایز مش ۱۲ و ۱۸ به لحاظ آماری تفاوت معنی‌داری مشاهده نشد، ولی با ریزتر نمودن مواد گیاهی (سایز مش ۳۵)، بازده اسانس استخراجی به‌طور معنی‌داری کاهش یافت (۱/۵۵ درصد). در نسبت ۱ به ۱۵ ماده گیاهی به آب، بیشترین میزان اسانس (۲/۱۵ درصد) از مواد گیاهی با بزرگ‌ترین اندازه (سایز مش ۱۲) به دست آمد و بین دو سایز دیگر، تفاوت معنی‌داری به لحاظ میزان اسانس مشاهده نگردید. در مطالعات مختلف محتوای اسانس مرزه سهندی را ۱/۴۵ درصد [۲۲]، ۱/۰۹ [۲۰۲] تا ۰/۹۵ [۱۸] تا ۰/۲ درصد [۱۶] و ۰/۴۲ درصد [۲۳] گزارش نموده‌اند که این تفاوت‌ها در محتوای اسانس می‌تواند به دلیل تفاوت در شرایط رویشگاه، نحوه مدیریت مزرعه، زمان برداشت، روش خشک کردن، روش استخراج و مدت زمان استخراج باشد. از آنجاییکه در گونه‌های گیاهی مختلف، اسانس‌ها در ساختارهای ترشحی متفاوتی ذخیره شده‌اند، لذا سرعت خروج اسانس ضمن فرایند تقطیر در همه گیاهان و حتی بافت‌های مختلف متعلق به یک گونه گیاهی خاص، یکسان نبوده و بایستی برای دست‌یابی به بیشترین میزان اسانس، شرایط استخراج برای هر گونه گیاهی و هر بافت گیاهی خاص، بهینه گردد. برخی از اندام‌های گیاهی از جمله برگ‌ها و گلبرگ‌ها به دلیل اینکه ساختارهای ترشحی آن‌ها اغلب سطحی هستند، شاید نیازی به ریز نمودن بیش از حد آن‌ها نباشد و خیلی راحت ضمن فرایند تقطیر ساختارهای ترشحی آن‌ها پاره شده و اسانس آن‌ها خارج می‌گردد، ولی اندام‌هایی مثل ریشه‌ها، ساقه‌ها، ریزومنها و میوه‌ها هم بافت سفت و سخت‌تری دارند و هم ساختارهای ترشحی آن‌ها اغلب به صورت درونی بوده و اسانس آن‌ها به سختی خارج می‌گردد.

های ۱:۱۰ و ۱:۱۵ ماده گیاهی به آب) اضافه گردید. فرایند اسانس‌گیری به مدت ۲/۵ ساعت انجام گرفت و سپس حجم اسانس جمع شده در دستگاه قرائت گردید و درصد حجمی/وزنی آن محاسبه شد. در ادامه، اسانس به کمک سرنگ از دستگاه خارج و در ویال‌های شیشه‌ای مخصوص ریخته شد. جهت آبگیری اسانس، مقدار کمی سولفات سدیم خشک به ویال‌های حاوی اسانس اضافه گردید. اسانس‌ها تا زمان آنالیز در یخچال با دمای ۴ درجه سلسیوس نگهداری شدند.

۴- آنالیز اسانس

از دستگاه‌های GC/MS و GC/FID برای آنالیز کمی و کیفی اسانس‌ها استفاده گردید. مشخصات دستگاه‌ها و شرایط کاری آن‌ها به شرح زیر بود:

GC/MS: Agilent 7890B/5977A GC/MSD جهت شناسایی ترکیبات اسانس استفاده گردید. ستون دستگاه از نوع HP5 به طول ۳۰ متر، قطر داخلی ۰/۲۵ میلی‌متر و ضخامت فاز ساکن ۰/۲۵ میکرومتر بود. دمای محفظه تزریق ۲۸۰ درجه سلسیوس تنظیم گردید. دمای اولیه ستون ۵۰ درجه سلسیوس بود و پس از یک دقیقه نگهداری در این دمای، با سرعت ۱۰ درجه در دقیقه به ۲۶۰ درجه افزایش داده شد. دمای منبع یونیزاسیون ۲۳۰ درجه سلسیوس، انرژی ۵۰ یونیزاسیون ۷۰ الکترون ولت و طیف جرمی بررسی شده، تا ۵۵۰ m/z بود. هلیوم به عنوان گاز حامل با فشار ۳۴ psi و سرعت جریان ۱ میلی‌لیتر در دقیقه استفاده گردید.

GC/FID: Agilent 7890B GC مجهر به آشکارساز یونیزاسیون شعله‌ای (FID)، مشخصات ستون و نیز برنامه حرارتی ستون مشابه با دستگاه GC/MS بود. دمای محل تزریق و آشکارساز به ترتیب ۲۸۰ و ۲۹۰ درجه سلسیوس تنظیم گردید. مشابه با GC/MS از گاز هلیوم با سرعت جریان ۱ میلی‌لیتر در دقیقه به عنوان گاز حامل استفاده گردید.

شناسایی ترکیبات اسانس از طریق مقایسه شاخص بازداری محاسبه شده با شاخص بازداری ترکیبات موجود در پایگاه-های اطلاعاتی NIST و Wily انجام گرفت و کمیت ترکیبات

سالم و یا پودر شده) گزارش نموده‌اند [۹ و ۱۰]. به نظر می‌رسد این تناقض در نتایج به نوع گونه گیاهی و ساختار ترشحی آن بستگی داشته باشد. نسبت آب به ماده گیاهی ضمن فرایند تقطیر، بایستی در حدی باشد که تمام مواد گیاهی در آب غوطه‌ور شده و به راحتی در داخل آب بالا و پایین شده (چرخ بخورند) تا فرایند استخراج به خوبی صورت گیرد. همچنین حجم آب باید در حدی باشد که بتواند به راحتی غشاها سلولی را پاره کرده و انسانس را بیرون بکشد [۱۵]. در نسبت‌های پایین آب به ماده گیاهی، مواد گیاهی اصطلاحاً نیم‌سوز شده و بازده استخراج پایین می‌آید [۴]. از دلایل دیگر کاهش بازده استخراج انسانس با افزایش نسبت ماده گیاهی به آب آنست که به ازای میزان مشخصی ماده گیاهی، حجم کمتری آب جهت نفوذ به بافت‌های گیاهی و استخراج ترکیبات وجود داشته و در نتیجه بازده استخراج پایین‌تر خواهد بود [۲۵]. در نسبت ۱ به ۵ ماده گیاهی به آب، ۵ میلی‌لیتر آب جهت استخراج ماده مؤثره از ۱ گرم ماده گیاهی وجود دارد، ولی در نسبت ۱ به ۱۵، به ازای هر ۱ گرم ماده گیاهی، ۱۵ میلی‌لیتر آب وجود دارد و طبیعی است که در نسبت ۱ به ۱۵ استخراج بهتر انجام گیرد. از طرفی دیگر، گزارش شده که در نسبت‌های بالای آب به ماده گیاهی، میزان حل شدن ترکیبات مؤثره در آب و نیز هیدرولیز آن‌ها افزایش یافته و نهایتاً بازده استخراج پایین می‌آید [۴ و ۲۶]. به نظر می‌رسد نسبت بهینه آب به ماده گیاهی جهت دست‌یابی به بهترین نتیجه، تا حدودی به نوع ماده گیاهی و ترکیبات مؤثره آن بستگی داشته باشد.

و لذا نیاز به خرد کردن بیش‌تری دارند [۵ و ۲۴]. بازده بیش‌تر انسانس استخراج شده از مواد گیاهی با سایز بزرگ‌تر، شاید به این دلیل باشد که مواد گیاهی بزرگ‌تر به دلیل وزن بیش‌تری که دارند، در ته بالن استخراج تهشیش شده و به منع حرارتی نزدیک‌تر بوده و لذا ساختارهای ترشحی آن‌ها تحت حرارت بیش‌تر، راحت‌تر پاره شده و انسانس آن‌ها خارج می‌گردد، ولی مواد گیاهی ریزتر به دلیل وزن کمتری که دارند، روی سطح آب داخل بالن معلق شده و از منع حرارتی دورتر بوده و لذا پاره شدن ساختارهای ترشحی آن‌ها نیاز به زمان و انرژی بیش‌تری دارد [۶]. یکی دیگر از دلایلی که برای کاهش بازده استخراج انسانس همراه با کاهش اندازه ذرات گیاهی گزارش نموده‌اند آنست که ذرات گیاهی ریزتر تمایل زیادی به جذب و نگهداری ترکیبات گیاهی از جمله انسانس‌ها داشته و لذا میزان خروج این ترکیبات از گیاه کاهش پیدا می‌کند [۹]. نتایج پژوهشی دیگر نشان داده که وقتی اندازه ذرات گیاهی خیلی کاهش یابد، به هم چسبیده و به صورت توده‌ای درآمده و لذا خروج انسانس از آن‌ها به سختی انجام گرفته و نهایتاً بازده استخراج انسانس کاهش پیدا می‌کند [۱۰]. البته در برخی از گزارشات آمده که بازده استخراج انسانس با کاهش اندازه قطعات گیاهی، افزایش پیدا می‌کند و دلیل احتمالی آن را اینگونه عنوان کرده‌اند که با کاهش اندازه قطعات گیاهی، سطح تماس مواد گیاهی با آب بیش‌تر شده و در نتیجه میزان جذب آب و به دنبال آن پاره شدن ساختارهای ترشحی و خروج انسانس افزایش پیدا می‌کند [۳، ۴، ۷ و ۱۵]. برخی مطالعات نیز بیش‌ترین بازده استخراج انسانس را با اندازه متوسط قطعات گیاهی (در مقایسه با نمونه

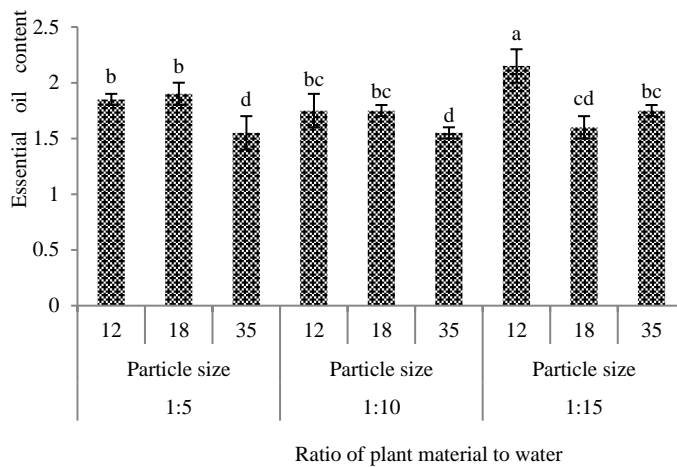


Fig 1 Essential oil content of *Satureja sahendica* Bornm. affected by plant particle size and ratio of plant material to water

تیمول متفاوت بود، طوریکه در سایز مش ۱۲، با کاهش نسبت ماده گیاهی به آب از ۱:۵ به ۱:۱۰، تیمول کاهش یافت ولی با کاهش بیشتر نسبت ماده گیاهی به آب از ۱:۱۰ به ۱:۱۵، تیمول افزایش نشان داد. در سایز مش ۱۸، با کاهش نسبت ماده گیاهی به آب، تیمول نیز کاهش یافت و در سایز مش ۳۵، ابتدا افزایش و سپس کاهش مشاهده گردید (جدول ۱).

تیمول، پ-سیمن و گاما-ترپین به عنوان اجزای غالب انسانس مرزه سهندی در مطالعات پیشین گزارش شده‌اند [۱۶، ۱۸ و ۲۲]. تیمول جزء غالب انسانس مرزه سهندی، به گروه مونوترپین‌های اکسیژن‌دار تعلق دارد و مقدار بالای آن در انسانس، بیانگر کیفیت بهتر انسانس می‌باشد. میزان تیمول بسته به ژنتیک و نیز شرایط قبل و بعد از برداشت می‌تواند متفاوت باشد، طوریکه میزان آن از $45/3$ - $34/7$ درصد [۱۶]، $46/7$ - $37/5$ درصد [۱۸]، و $41/3$ - $30/6$ درصد [۲۲] گزارش شده است. در مطالعه حاضر میزان تیمول بین $52/31$ - $81/79$ درصد بود که بیانگر ژنتیک برتر و نیز شرایط رویشگاهی مطلوب‌تر جمعیت گیاهی مورد استفاده می‌باشد.

مونوترپین‌های اکسیژن‌دار، گروه اصلی ترکیبات شناسایی شده انسانس در همه تیمارها بودند و بیشترین مقدار آن‌ها، متعلق به ریزترین مواد گیاهی (سایز مش ۳۵) بود. در مقابل، ریزترین مواد گیاهی، دارای کمترین میزان هیدروکربن‌های مونوترپنی بودند. همچنین کمترین میزان مجموع ترکیبات مونوترپنی (هیدروکربن‌های مونوترپنی و مونوترپین‌های

۳-۲- ترکیبات تشکیل دهنده انسانس

تعداد، نوع و میزان ترکیبات شناسایی شده در انسانس مرزه سهندی در تیمارهای مختلف اعمال شده، متفاوت بود. کمترین تعداد ترکیبات شناسایی شده (۵ ترکیب) که در مجموع $91/48$ درصد مجموع ترکیبات انسانس را تشکیل می‌دادند، مربوط به تیمار سایز مش ۳۵ و نسبت ۱ به ۱۰ ماده گیاهی به آب بود. بیشترین تعداد ترکیبات شناسایی شده (۲۲ ترکیب) متعلق به سایز مش ۱۸ در نسبت‌های ۱ به ۱۰ و ۱ به ۱۵ ماده گیاهی به آب بود که به ترتیب $97/64$ و $96/46$ درصد مجموع ترکیبات انسانس را شامل می‌شدند. ترکیبات غالب انسانس در نسبت‌های ۱ به ۵ و ۱ به ۱۰ ماده گیاهی به آب، تیمول و پ-سیمن بودند، در حالیکه در نسبت ۱ به ۱۵ ماده گیاهی به آب، بسته به سایز مش ماده گیاهی، ترکیبات غالب تا حدودی متفاوت بودند. طوریکه در سایز مش ۱۲، تیمول و آلفا-ترپین؛ در سایز مش ۱۸، تیمول و پ-سیمن؛ و در سایز مش ۳۵، تیمول و کارواکرول به عنوان اجزای غالب انسانس شناسایی شدند. تیمول جزء غالب انسانس در همه تیمارها بود و بیشترین مقدار آن ($81/79$ درصد) در انسانس نمونه‌های سایز مش ۳۵ و نسبت ۱ به ۱۰ ماده گیاهی به آب مشاهده گردید. میزان تیمول با کاهش سایز نمونه‌های گیاهی از سایز مش ۱۲ به ۱۸، کاهش جزئی داشت و سپس با کاهش بیشتر سایز از ۱۸ به ۳۵، افزایش یافت. در سایز مش یکسان ولی نسبت‌های مختلف ماده گیاهی به آب، روند تغییرات

مشاهده گردید که با افزایش سایز مش، میزان کورکومین استخراج شده بیشتر شد [۳]. افزایش نسبت حلال به ماده گیاهی موجب افزایش میزان استخراج سزکوئیترین‌های کورکومنون، کورکومنول، کوردیون، کورزرنون و فورانودینون در گیاه زردچوبه شده است [۶]. در گیاه دارویی رازیانه، گزارش شده که با افزایش سایز مش، میزان آنتول استخراجی کاهش نشان داد [۱۱]. افزایش میزان استخراج ترکیبات فنولی همسو با کاهش اندازه قطعات گیاهی و افزایش نسبت حلال به ماده گیاهی در گیاه دارویی همیشه- بهار گزارش شده است [۲۸]. میزان لیمونن استخراجی به روش تقطیر با آب از گیاه *Pimpinella affinis* Ledeb. با افزایش سایز مش، افزایش نشان داده است [۲۹].

کاهش یا افزایش میزان استخراج یک ترکیب دارویی خاص از یک گیاه تحت تأثیر اندازه قطعات گیاهی و نیز نسبت حلال به ماده گیاهی، تا حدود زیادی به ماهیت آن ترکیب بستگی دارد. سبک یا سنگین بودن، فرار یا غیر فرار بودن، دارای نقطه جوش پایین یا بالا و قطبی یا غیر قطبی بودن، از مواردی هستند که میزان استخراج ترکیبات دارویی را تحت تأثیر قرار می‌دهند.

اکسیژن‌دار)، در ریزترین مواد گیاهی شناسایی گردید. میزان مونوتربن‌ها چندان تحت تأثیر نسبت ماده گیاهی به آب قرار نگرفت. در نسبت‌های ۱ به ۵ و ۱ به ۱۵ ماده گیاهی به آب، بیشترین میزان سزکوئیترین‌ها، در اسانس ریزترین مواد گیاهی مشاهده گردید، ولی در نسبت ۱ به ۱۰ ماده گیاهی به آب، بیشترین مقدار این ترکیبات، در نمونه‌های با سایز متوسط شناسایی شد (جدول ۱).

میزان بیشتر مونوتربن‌ها در نمونه‌های گیاهی درشت‌تر می‌تواند دلایل مختلفی داشته باشد. مواد گیاهی ریزتر، سطح تماس بیشتری دارند و لذا حین خرد کردن و آماده‌سازی نمونه‌ها جهت اسانس‌گیری، احتمال خروج مونوتربن‌ها که ترکیباتی سبک با فراریت بالا هستند [۲۷]، با ریزتر شدن قطعات گیاهی، افزایش پیدا می‌کند. در حالیکه این اتفاق به آسانی برای سزکوئیترین‌ها رخ نمی‌دهد، چراکه این ترکیبات سنگین‌تر بوده، فراریت پایین‌تری داشته و به راحتی از بافت-های گیاهی خارج نمی‌شوند. همچنین احتمال اکسیداسیون و هیدرولیز بیشتر مونوتربن‌ها در مواد گیاهی ریزتر به دلیل سطح تماس بیشتر نیز وجود دارد.

تأثیر اندازه قطعات گیاهی و نیز نسبت آب به ماده گیاهی بر میزان و کیفیت مواد مؤثره گیاهان دارویی در مطالعات دیگری نیز به اثبات رسیده است. در پژوهشی روی گیاه زردچوبه

Table 1 Essential oil components (%) of *Satureja sahendica* Bornm. affected by plant particle size and ratio of plant material to water

Components	R.T. (min)	Ratio of plant material to water (w/v)									
		1:5			1:10			1:15			
		Plant particle size (mesh)	12	18	35	Plant particle size (mesh)	12	18	35	Plant particle size (mesh)	12
α -Thujene	5.95	tr	tr	tr	tr	tr	tr	tr	0.48	tr	tr
α -Pinene	6.12	0.25	0.21	tr	0.31	0.35	tr	tr	0.38	tr	tr
Camphene	6.25	0.65	0.53	0.23	0.68	0.59	tr	tr	0.64	tr	tr
β -Pinene	6.53	0.12	tr	tr	0.14	0.12	tr	tr	0.12	tr	tr
β -Myrcene	7.10	0.15	tr	tr	tr	0.14	tr	tr	0.16	tr	tr
α -Phellandrene	7.45	0.42	0.37	tr	0.57	0.58	tr	tr	0.66	tr	tr
α -Terpinene	7.96	0.15	0.18	tr	0.22	0.24	tr	9.96	0.27	tr	tr
p-Cymene	8.22	21.44	21.0	9.58	28.08	27.21	4.73	tr	30.58	0.98	tr
γ -Terpinene	8.87	0.15	0.23	tr	0.51	0.96	tr	tr	0.87	tr	tr
cis-Sabinene hydrate	9.07	tr	tr	tr	0.17	0.23	tr	tr	0.23	tr	tr
Linalool	9.79	2.63	2.17	1.71	2.19	2.18	2.18	2.26	2.16	2.43	tr
Borneol	11.1	0.38	0.34	0.29	0.32	0.33	tr	tr	0.31	0.32	tr
Terpineol	11.3	1.05	0.92	1.12	0.81	0.78	1.59	0.4	0.73	1.75	tr
p-Cymen-8-ol	11.6	0.73	0.65	0.84	0.62	0.67	tr	0.44	0.35	1.35	tr
Thymol	13.7	61.16	59.16	69.63	53.49	53.22	81.79	75.1	52.31	71.63	tr
Carvacrol	14.0	2.19	5.50	3.99	4.54	4.29	tr	2.01	2.43	7.22	tr
Thymyl acetate	14.8	0.33	0.30	0.31	0.26	0.32	tr	0.37	0.28	0.40	tr
trans-Caryophyllene	16.0	0.45	0.59	1.23	0.50	0.57	1.19	0.41	0.51	0.76	tr
p-Cymen-7-ol	16.3	tr	tr	0.23	0.14	0.14	tr	tr	0.10	tr	tr
Ledene	17.5	tr	tr	0.2	tr	0.11	tr	tr	tr	tr	tr
(+)-Spathulenol	18.8	1.14	3.32	4.08	2.75	4.13	tr	3.55	2.77	5.14	tr
Caryophyllene oxide	19.2	3.13	tr	0.2	0.13	0.13	tr	tr	0.13	tr	tr
(-)Spathulenol	20.0	tr	tr	tr	tr	tr	tr	0.27	0.11	tr	tr

<i>cis-Z-α-Bisabolene epoxide</i>	20.3	0.33	0.36	0.45	0.31	0.35	tr	0.55	0.36	0.63
Monoterpene hydrocarbons	23.33	22.52	9.81		30.68	30.42	4.73	10.44	33.91	0.98
Oxygenated monoterpenes	68.47	69.04	78.12		62.37	61.93	85.56	80.58	58.67	85.1
Total monoterpens	91.8	91.56	87.93		93.05	92.35	90.29	91.02	92.58	86.08
Sesquiterpene hydrocarbons	0.45	0.59	1.43		0.5	0.68	1.19	0.41	0.51	0.76
Oxygenated sesquiterpenes	4.6	3.68	4.73		3.19	4.61	tr	4.37	3.37	5.77
Total sesquiterpenes	5.05	4.27	6.16		3.69	5.29	1.19	4.78	3.88	6.53
Total identified compounds	96.85	95.83	94.09		96.74	97.64	91.48	95.8	96.46	92.61

R.T.: Retention time

tr: Values less than 0.1%

۳۵ و خیلی درشت (سایز مش ۱۲)، نسبت ۱ به ۱۵ ماده

گیاهی به آب، مناسب‌ترین بود و در مورد نمونه‌های گیاهی با سایز متوسط، نسبت ۱ به ۵ ماده گیاهی به آب، نتیجه بهتری داد. تعداد، نوع و میزان ترکیبات تشکیل‌دهنده اسانس به شدت تحت تأثیر تیمارهای اعمال‌شده قرار گرفتند و انتخاب مناسب‌ترین تیمار، بسته به نوع ترکیب هدف می‌تواند متفاوت باشد. چنانچه ترکیب هدف، تیمول باشد، سایز مش ۳۵ و نسبت ۱ به ۱۰ ماده گیاهی به آب، بهترین تیمار بود.

۴- نتیجه‌گیری

به طور کلی نتایج این پژوهش نشان داد که کاهش اندازه قطعات گیاهی، موجب کاهش اسانس استخراجی مرزه سهندی گردید. مناسب‌ترین نسبت ماده گیاهی به آب برای حصول اسانس بیشتر، بسته به اندازه قطعات گیاهی متفاوت بود، طوریکه در مورد قطعات گیاهی خیلی ریز (سایز مش

۵- منابع

- [1] Raut, J.S. and Karuppayil, S.M. 2014. A status review on the medicinal properties of essential oils. *Industrial Crops and Products*, 62: 250-264.
- [2] Omidbaigi, R. 2015. Production and Processing of Medicinal Plants. Astan Quds Razavi Press, 348p.[Persian]
- [3] Daulay, A.S., Taufik, M., Ridwanto, R. and Astriliana, A. 2018. Effect of particle size on fresh turmeric (*Curcuma longa* L.) and simplicia toward content of curcumin compound. Proceedings of the 5th Annual International Seminar on Trends in Science and Science Education, 18-19 October, Medan, Indonesia.
- [4] Kusuma, H.S. and Mahfud, M. 2017. Microwave hydrodistillation for extraction of essential oil from *Pogostemon cablin* Benth: Analysis and modeling of extraction kinetics. *Journal of Applied Research on Medicinal and Aromatic Plants*, 4: 46-54.
- [5] Ali, E., Mahmoudi, R., Kazeminia, M., Hazrati, R. and Azarpey, F. 2017. Essential oils as natural medicinal substances: Review article. *Tehran University Medical Journal*, 75(7): 480-489. [Persian]
- [6] Wei, D., Cheng, G., Huang, K., Fang, J. and Yan, B. 2017. Hydrodistillation condition adjustment for different material particle sizes: a method to increase batch-to-batch quality consistency. *International Journal of Food Science and Technology*, 53(5): 1140-1148.
- [7] Akuso, S.A., Kabiru, M., Victor, O., Abubakar, G., Nwobi, B.E., Apugo-Nwosu, T.U. and Batari, M.L. 2019. Effects of particle size on the yield of essential oil extracted from eucalyptus (*Citriodora*). *Nigerian Research Journal of Chemical Sciences*, 7: 115-123.
- [8] Jiang, G., Wu, Zh., Ameer, K., Li, Sh. and Ramachandraiah, K. 2020. Particle size of ginseng (*Panax ginseng* Meyer) insoluble dietary fiber and its effect on physicochemical properties and antioxidant activities. *Applied Biological Chemistry*, 63(70): 1-10.
- [9] Zhao, Ch., He, X., Li, Ch., Yang, L., Fu, Y., Wang, K., Zhang, Y. and Ni, Y. 2016. A microwave-assisted simultaneous distillation and extraction method for the separation of polysaccharides and essential oil from the leaves of *Taxus chinensis* var. *mairei*. *Applied Sciences*, 6(19): 1-15.
- [10] Hou, H., Bonku, E.M., Zhai, R., Zeng, R., Hou, Y., Yang, Zh. and Quan, C. 2019. Extraction of essential oil from *Citrus reticulate* Blanco peel and its antibacterial activity against *Cutibacterium acnes* (formerly *Propionibacterium acnes*). *Heliyon*, 5: e02947.
- [11] Tavakolizadeh, M., Hadian, Gh., Khoshayand, M.R. and Mojab, F. 2018. Effect of powder sizes, pH of water, ultrasound and method of distillation on extraction of fennel essential oil and anethole content. *Iranian Journal of Pharmaceutical Sciences*, 14(1): 35-44.
- [12] Lainez-Cerón, E., Jiménez-Munguía, M.T., López-Malo, A. and Ramírez-Corona, N. 2021. Effect of process variables on heating profiles and extraction mechanisms during hydrodistillation of eucalyptus essential oil. *Heliyon*, 7: e08234.
- [13] Chaouche, F.S.A., Mouhouche, F., Hazzit, M. and Ferradji, A. 2017. Optimization of extraction yield of Algerian *Mentha pulegium* L. essential oil by ultrasound-assisted hydrodistillation using response surface methodology. *Research Journal of Phytochemistry*, 11: 142-149.
- [14] Larkeche, O., Zermanea, A., Meniai, A.H., Boubadja, H., Boulbai, S. and Kouis, H. 2017.

- Experimental study of hydrodistillation extraction essential oil from rosemary leaves: optimization of process variables using box-behnken experimental design. The 8th International Renewable Energy Congress, 21-23 March, Jordan.
- [15] Anh, T.T., Duyen, L.T., Hang, L.M., Lam, T.D., Bach, L.G., Nguyen, D.Ch. and Toan, T.Q. 2019. Effect of drying temperature and storage time on *Ocimum gratissimum* Linn. leaf essential oil from Central Highlands, Vietnam. Materials Today: Proceedings, 18: 4648-4658.
- [16] Mohammadi, H., Pourmohammad, P. and Hazrati, S. 2021. Phytochemical and physiological study of *Satureja sahendica* Bornm. essential oil and extract to water-deficit stress. Eco-Phytochemical Journal of Medicinal Plants, 9(1): 1-19. [Persian]
- [17] Zarezadeh, A., Sefidkon, F., Tabaei Oghdaei, S.R., Mirhosseini, A. and Azizzadeh, M.R. 2016. Essential oil composition in cultivated accessions of *Satureja sahendica* Bornm. from Yazd province. Eco-Phytochemical Journal of Medicinal Plants, 4(1): 47-55. [Persian]
- [18] Sefidkon, F., Tabayi Aghdayi, S.R., Ansari, M., Behrad, Z. and Asgari, F. 2015. Comparison of essential oil content and composition of seven populations of *Satureja sahendica* Bornm. in farm condition. Journal of Crop Improvement, 16(4): 779-794. [Persian]
- [19] Dadashpour, M., Rasooli, I., Sefidkon, F., Zaad Hosseingholi, E. and Darvish Alipour Astaneh, Sh. 2013. Antimicrobial, antioxidative, superoxide anion radical scavenging and anti tyrosinase properties of *Satureja sahendica* Bornm. and *Satureja hortensis* L. essential oils. Iranian Journal of Medicinal and Aromatic Plants, 28(4): 616-627. [Persian]
- [20] Tepe, B. and Cilkiz, M. 2016. A pharmacological and phytochemical overview on *Satureja*. Pharmaceutical Biology, 54(3): 375-412.
- [21] Güllüce, M., Sökmen, M., Daferera, D., Ağar, G., Ozkan, H., Kartal, N., Polissiou, M., Sökmen, A. and Sahin, F. 2003. In vitro antibacterial, antifungal, and antioxidant activities of the essential oil and methanol extracts of herbal parts and callus cultures of *Satureja hortensis* L. Journal of Agricultural and Food Chemistry, 51(14): 3958-3965.
- [22] Kayhani, A., Sefidkon, F. and Monfared, A. 2014. The effect of drying and distillation methods on essential oil content and composition of *Satureja sahendica* Bornm. Iranian Journal of Medicinal and Aromatic Plants, 30(2): 239-249. [Persian]
- [23] Ghamari, H., Saidi, M., Ghaasemnejaad, A. and Ghanbari, A.R. 2016. Evaluation of phytochemical composition of Sahandian savory (*Satureja sahendica* Bornm.) essential oils at different phenological stages. Journal of Agroecology, 8(1): 1-16. [Persian]
- [24] Pourmortazavi, S.M. and Hajimirsadeghi, S.S. 2007. Supercritical fluid extraction in plant essential and volatile oil analysis. Journal of Chromatography A, 1163(1-2): 2-24.
- [25] Ballard, T.S., Mallikarjunan, P., Zhou, K. and O'Keefe, S. 2010. Microwave-assisted extraction of phenolic antioxidant compounds from peanut skins. Food Chemistry, 120 (4): 1185-1192.
- [26] Jalili Safaryan, M., Ganjloo, A., Bimakr, M. and Zarringhalami, S. 2016. Optimization of ultrasound-assisted extraction, preliminary characterization and in vitro antioxidant activity of polysaccharides from green pea pods. Foods, 5(4): 1-15.
- [27] Esfahanizadeh, M., Ayatollahi, S.A., Goodarzi, A., Bayat, M., Ata, A. and Kobarfard, F. 2018. Development and validation of a GC/MS method for simultaneous determination of 7 monoterpenes in two commercial pharmaceutical dosage forms. Iranian Journal of Pharmaceutical Research, 17(2): 24-32.
- [28] Besharati, N.Z., Bimakr, M. and Ganjloo, A. 2019. Effect of solvent type and extraction conditions on extraction yield, total phenolic content and antioxidant activity of extract containing bioactive compounds from aerial part of marigold (*Calendula officinalis* L.). Journal of Food Science and Technology, 16(92): 11-21. [Persian]
- [29] Habibzadeh, M., Sefidkon, F. and Fatemi, Sh. 2012. The effects of different mesh sizes, methods and periods of distillation on essential oil content and composition of *Pimpinella affinis* Ledeb. Iranian Journal of Medicinal and Aromatic Plants, 28(2): 224-234. [Persian]



Scientific Research

Optimization of essential oil extraction from *Satureja sahendica* Bornm.

Jalal Khorshidi^{1,2*}, Seyed Hemn Amanollahi³, Pakhshan Bayazidi Azar³

1- Assistant Professor, Department of Horticultural Science and Engineering, Faculty of Agriculture,
University of Kurdistan, Sanandaj, Iran

2- Research Center of Medicinal Plants Breeding and Development, Faculty of Agriculture, University of
Kurdistan, Sanandaj, Iran

3- M.Sc. student, Department of Horticultural Science and Engineering, Faculty of Agriculture,
University of Kurdistan, Sanandaj, Iran

ARTICLE INFO**ABSTRACT****Article History:**

Received:2023/9/7

Accepted: 2023/12/28

Keywords:*Satureja sahendica* Bornm,

Essential Oil,

Thymol,

Mesh Size,

Water Content

DOI: [10.22034/FSCT.21.148.103](https://doi.org/10.22034/FSCT.21.148.103).

*Corresponding Author E-Mail:
j.khorshidi@uok.ac.ir

The quantity and quality of essential oil extracted from the plant is strongly influenced by the extraction conditions, so optimizing the extraction conditions can help us to achieve the most essential oil content with the best quality. *Satureja sahendica* Bornm. is an endemic medicinal plant of Iran, which is of great importance due to its high essential oil and thymol content. In this research, the effect of plant particle size (mesh sizes of 12, 18 and 35) and the ratio of plant material to water (1:5, 1:10 and 1:15 w/v) on essential oil content and compositions of this plant were evaluated. The essential oils were extracted based on hydro-distillation method by Clevenger's apparatus and then analyzed using GC/MS and GC/FID. The results indicated that the extracted essential oil decreased with the decrease in the plant particle size. The optimal ratio of plant material to water in order to obtain more essential oil was different depending on the plant particle size. The highest of essential oil content (2.15% v/w) was obtained from plant material with mesh size of 12 in the ratio of 1:15 plant material to water. The number, type and amount of essential oil compounds were strongly affected by different treatments. The highest amount of thymol (81.79%) as the most important component of the *Satureja sahendica* essential oil was obtained from samples with mesh size of 35 and in the ratio of 1:10 plant material to water. Determining the most appropriate extraction conditions can be different depending on the purpose and desired chemical composition of the essential oil.